

# **Nonlinear outcomes of gravitational instability in irradiated protoplanetary disks**

廣瀬重信 (JAMSTEC), Jiming Shi (Princeton)

2017年7月12日  
基研研究会 「原始惑星系円盤」  
京都大学 基礎物理学研究所

# 降着円盤における重力不安定

- 回転と自己重力を考慮した音波の分散関係式 (Toomre 1964)

$$(\omega - m\Omega)^2 = c_s^2 (k - k_{\text{crit}})^2 + \left(1 - \frac{1}{Q^2}\right)$$

パラメータ  $Q \equiv \frac{c_s \Omega}{\pi G \Sigma} < 1$  不安定条件

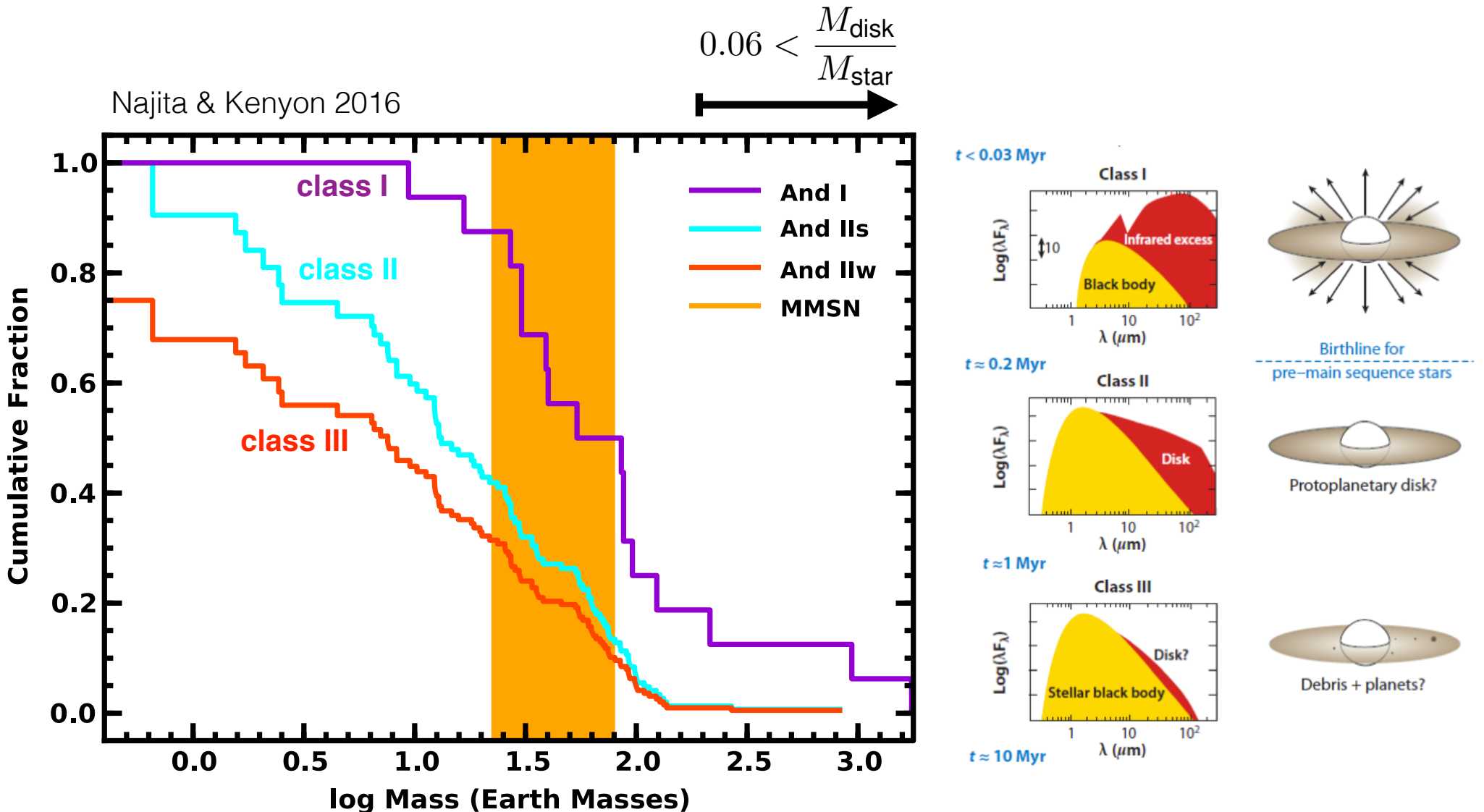
$$k_{\text{crit}} \equiv \frac{\pi G \Sigma}{c_s^2} \approx \frac{1}{QH} \quad \text{最大成長波数} \approx \text{スケールハイト}^{-1}$$

- 線形不安定条件 ( $Q < 1$ ) を、円盤と中心星の質量比を用いて表すと

$$\frac{M_{\text{disk}}}{M_{\text{star}}} > 0.06 \left(\frac{f}{1}\right) \left(\frac{T}{10 \text{ K}}\right)^{\frac{1}{2}} \left(\frac{r}{100 \text{ AU}}\right)^{\frac{1}{2}} \left(\frac{M_*}{M_\odot}\right)^{-\frac{1}{2}}$$

# 原始惑星系円盤質量の時間進化

- 初期段階では、ある程度の割合の原始惑星系円盤が、自己重力の影響が無視できない質量を持つことが推定される



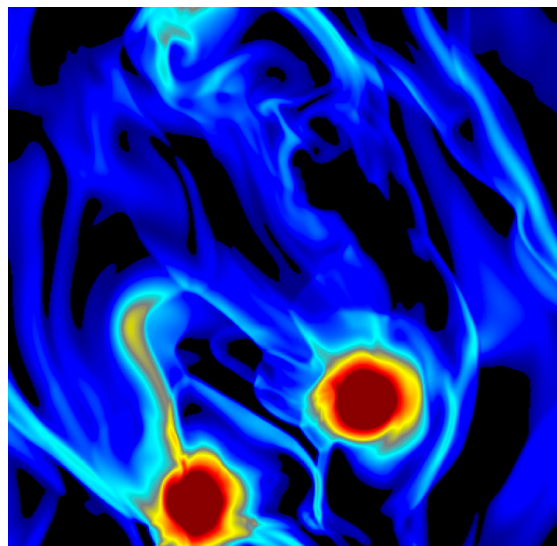
# 重力不安定の非線形発展: 重力乱流 vs. 分裂

- Gammie (2001) は、簡単化した冷却関数

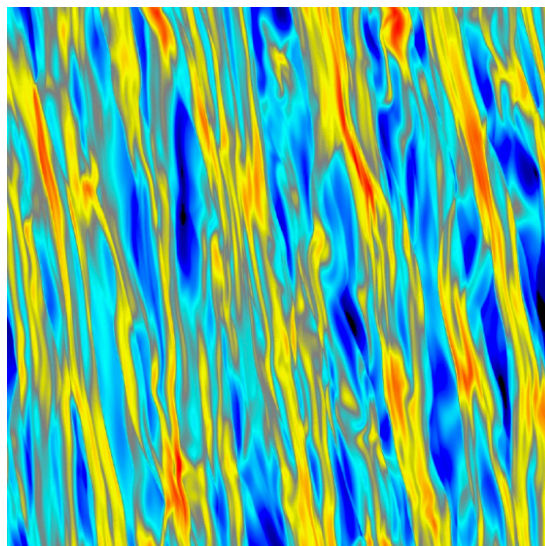
$$\frac{\partial e}{\partial t} = -\frac{e}{\beta \Omega^{-1}}, \quad \boxed{\beta \text{ cooling}}$$

を用いた局所数値計算を行い、冷却時間と力学時間の比  $\beta$  によって、非線形発展が異なることを見出した:

$$\begin{cases} \beta > 3 & \text{重力乱流 } (Q \sim 1) \Rightarrow \text{シアストレス起源} \\ \beta < 3 & \text{分裂} \Rightarrow \text{伴星・惑星形成.} \end{cases}$$

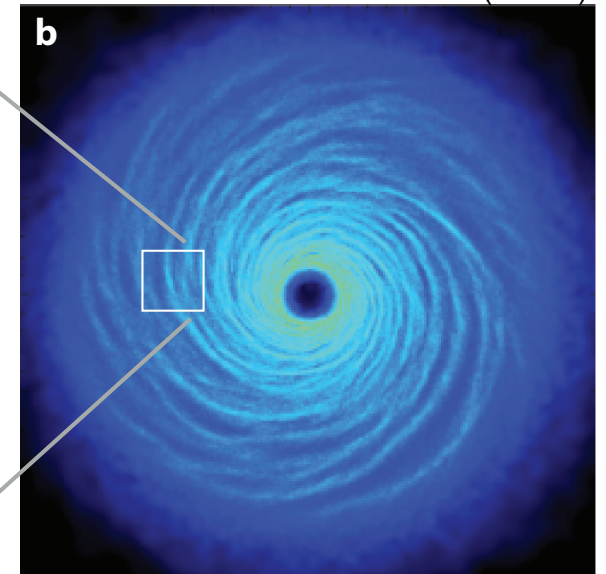


$\beta = 2$  (冷却が強いとき)



$\beta = 10$  (冷却が弱いとき)

Kratter and Lodato (2016)



b

# 本研究の目的と手法

- 現実的な熱力学（輻射冷却・状態方程式・中心星からの可視光輻射）を基づいて、原始惑星系円盤における重力不安定の非線形発展を調べる
- シアリングボックスを用いて 3 次元輻射流体力学計算を行う
  - 初期に成層した層流に、擾乱を与えてその非線形発展を追う
  - 計算パラメータは、中心星からの距離  $r$  と、面密度  $\Sigma$ （あるいは換算して  $M_{\text{disk}}/M_* = \pi r^2 \Sigma / M_*$ ）のみ
  - 面密度  $\Sigma$  は、 $0.06 < M_{\text{disk}}/M_* < 0.25$  の範囲を考える



# Angular momentum and energy transport in disks

- shear stress

e.g. Balbus & Papaloizou (1998)

$$W_{r\phi} \equiv \langle \rho u_r u_\phi \rangle - \langle B_r B_\phi \rangle$$

- transport equation of angular momentum  $J$

$$\frac{\partial \langle J \rangle}{\partial t} + \frac{1}{r} \frac{\partial}{\partial r} (r (J \langle u_r \rangle + r W_{r\phi})) = 0$$

- transport equation of mechanical energy  $E$

$$\frac{\partial \langle E \rangle}{\partial t} + \frac{1}{r} \frac{\partial}{\partial r} (r (\langle E + \dots \rangle) \langle u_r \rangle + (r W_{r\phi}) \Omega) = -W_{r\phi} \frac{d\Omega}{d \ln r}$$

“viscosity”-like  
dissipation  
(local energy loss)

# Angular momentum and energy transport in disks

- shear stress

e.g. Balbus & Papaloizou (1998)

$$W_{r\phi} \equiv \langle \rho u_r u_\phi \rangle - \langle B_r B_\phi \rangle + \left\langle \frac{g_r g_\phi}{4\pi G} \right\rangle$$

- transport equation of angular momentum  $J$

$$\frac{\partial \langle J \rangle}{\partial t} + \frac{1}{r} \frac{\partial}{\partial r} (r (J \langle u_r \rangle + r W_{r\phi})) = 0$$

- transport equation of mechanical energy  $E$

$$\frac{\partial \langle E \rangle}{\partial t} + \frac{1}{r} \frac{\partial}{\partial r} (r (\langle E + \dots \rangle) \langle u_r \rangle + (r W_{r\phi}) \Omega + \mathcal{F}^*) = -W_{r\phi} \frac{d\Omega}{d \ln r}$$

$$\mathcal{F}^* \equiv \int \left\langle \rho u_r \Phi + \frac{g_r}{4\pi G} \left( \frac{\partial \Phi}{\partial t} - r \Omega g_\phi \right) \right\rangle_\phi dz$$

global energy transport due to gravity

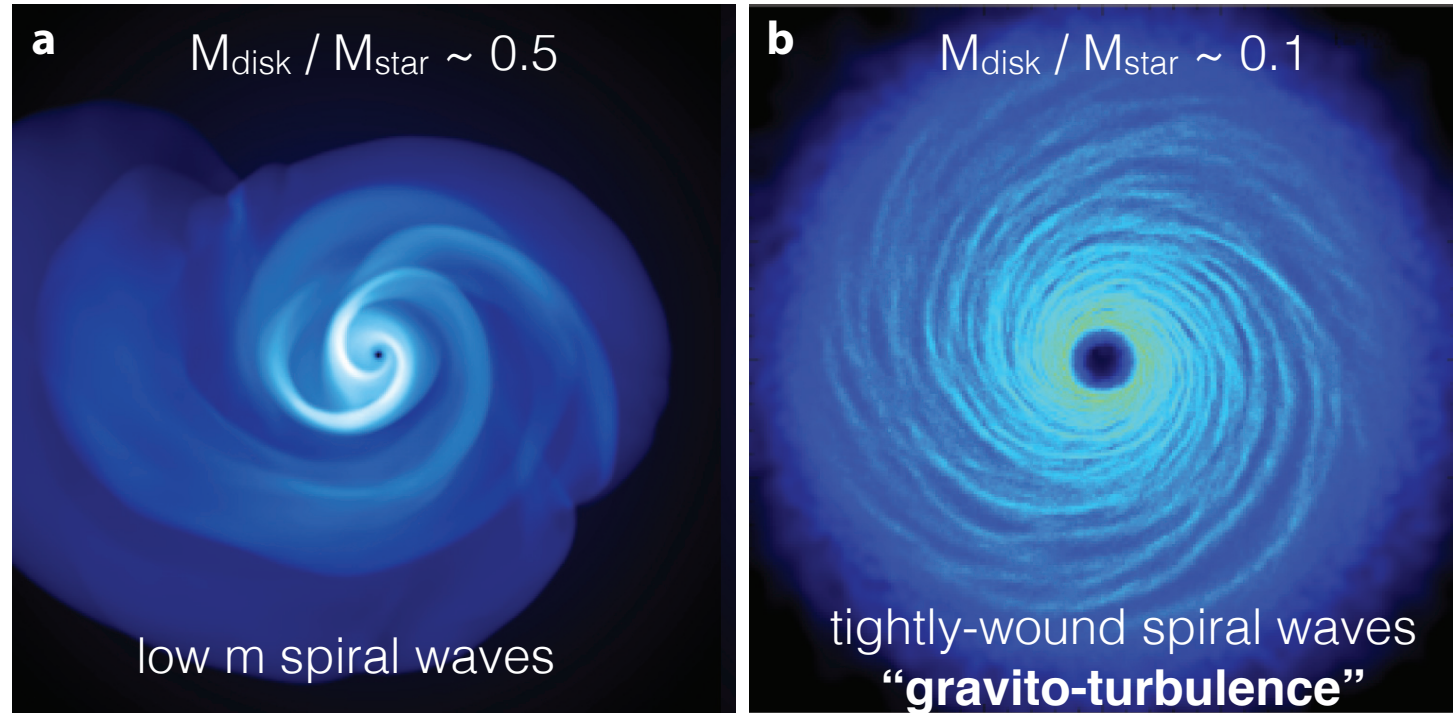
シアリングボックス近似では  $\mathcal{F}^* = 0$  となる

“viscosity”-like

dissipation  
(local energy loss)

# Locality of transport depends on $M_{\text{disk}} / M_{\text{star}}$

Kratter and Lodato (2016)



$M_{\text{disk}} / M_{\text{star}}$	large	<b>small</b>
energy transport	non-local	<b>local</b>

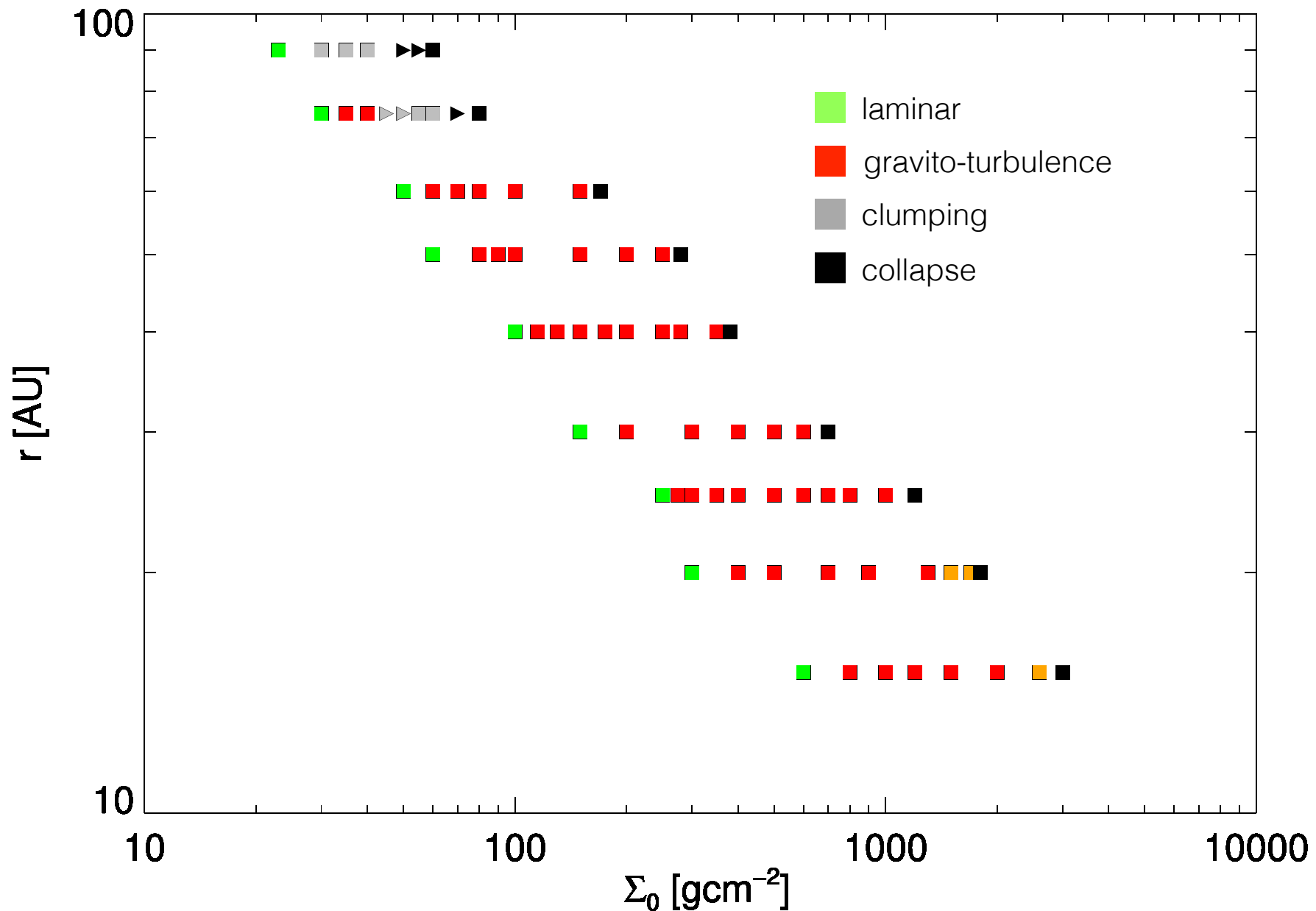
Caveat: c.f. Tsukamoto et al. (2015), Takahashi et al. (2016)

# 本研究の目的と手法

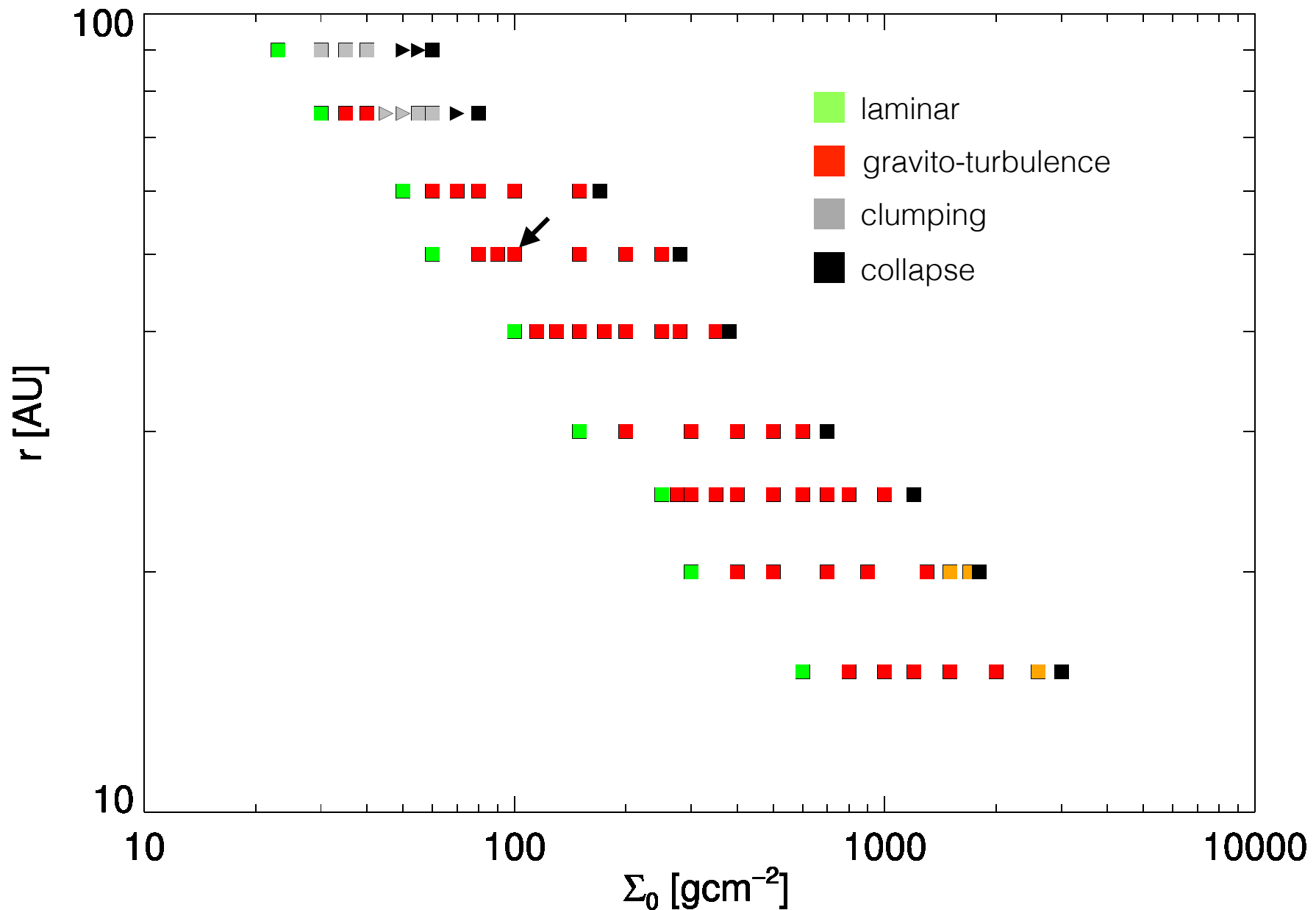
- 現実的な熱力学（輻射冷却・状態方程式・中心星からの可視光輻射）を基づいて、原始惑星系円盤における重力不安定の非線形発展を調べる
- シアリングボックスを用いて 3 次元輻射流体力学計算を行う
  - 初期に成層した層流に、擾乱を与えてその非線形発展を追う
  - 計算パラメータは、中心星からの距離  $r$  と、面密度  $\Sigma$ （あるいは換算して  $M_{\text{disk}}/M_* = \pi r^2 \Sigma / M_*$ ）のみ
  - 面密度  $\Sigma$  は、 $0.06 < \Sigma < 0.25$  の範囲を考える



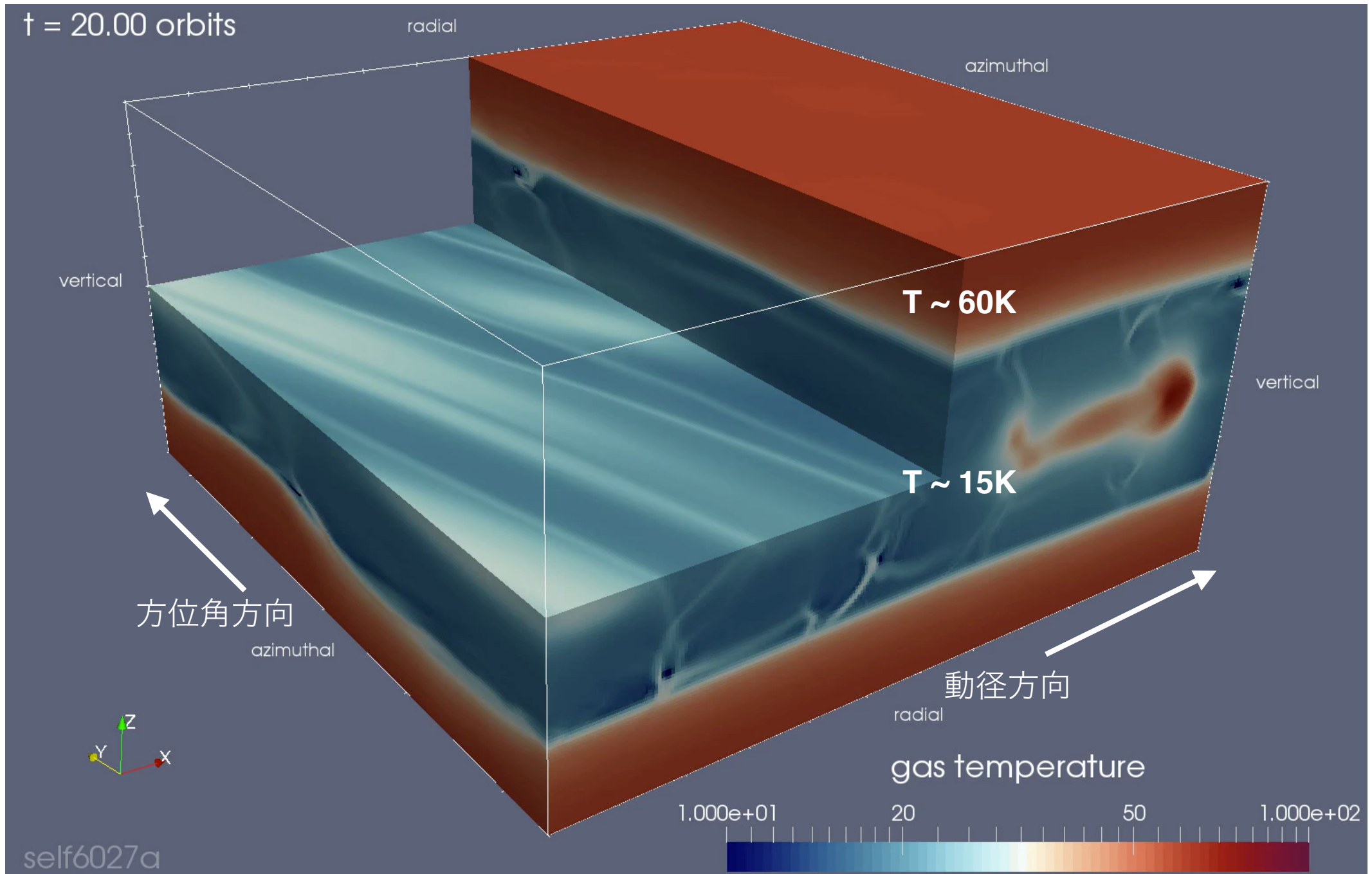
# Nonlinear outcomes of GI: dependence on $r$ and $\Sigma$



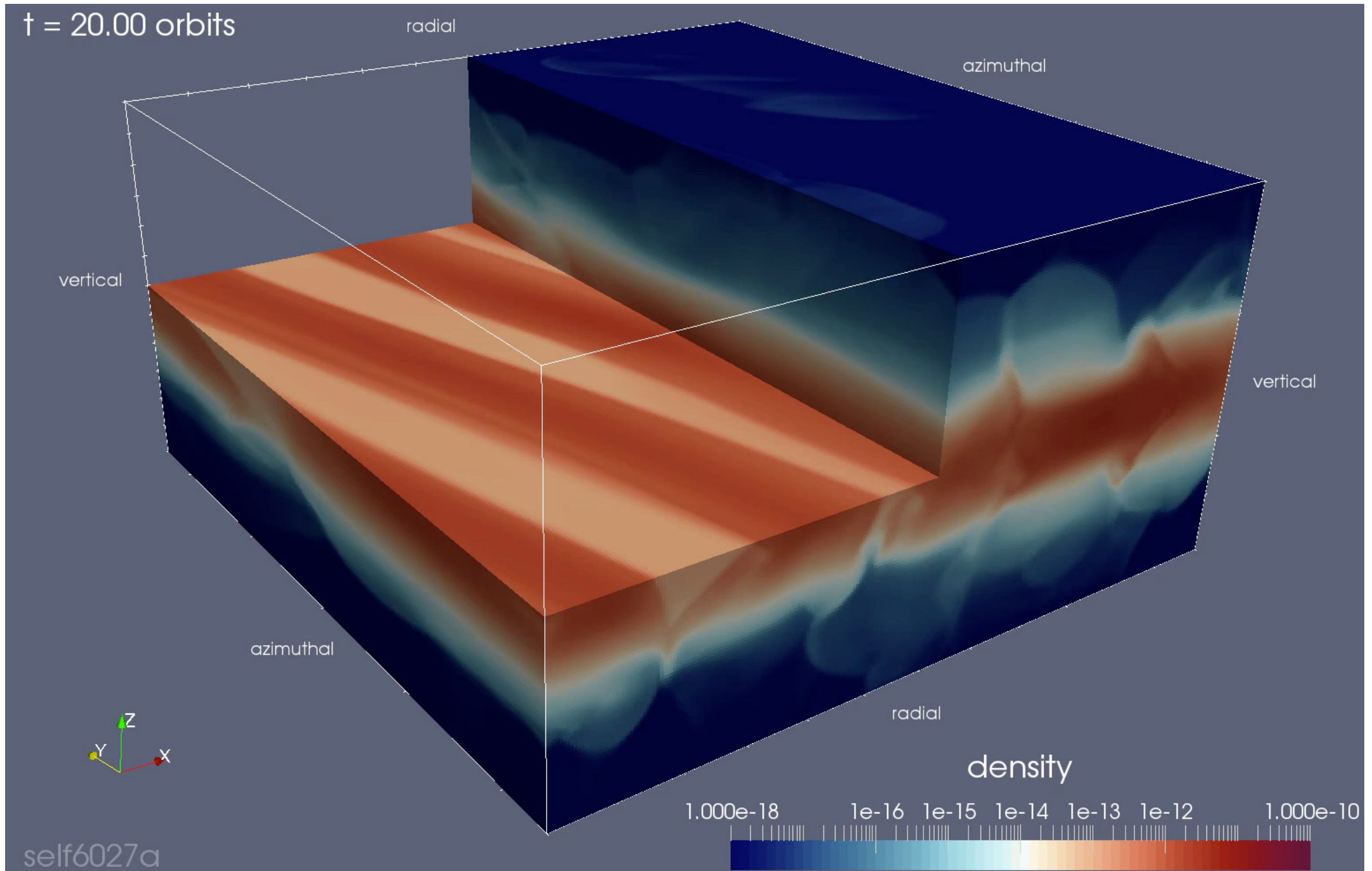
# $r = 50$ AU, $\Sigma = 100$ gcm $^{-2}$ の場合 : gravito-turbulence



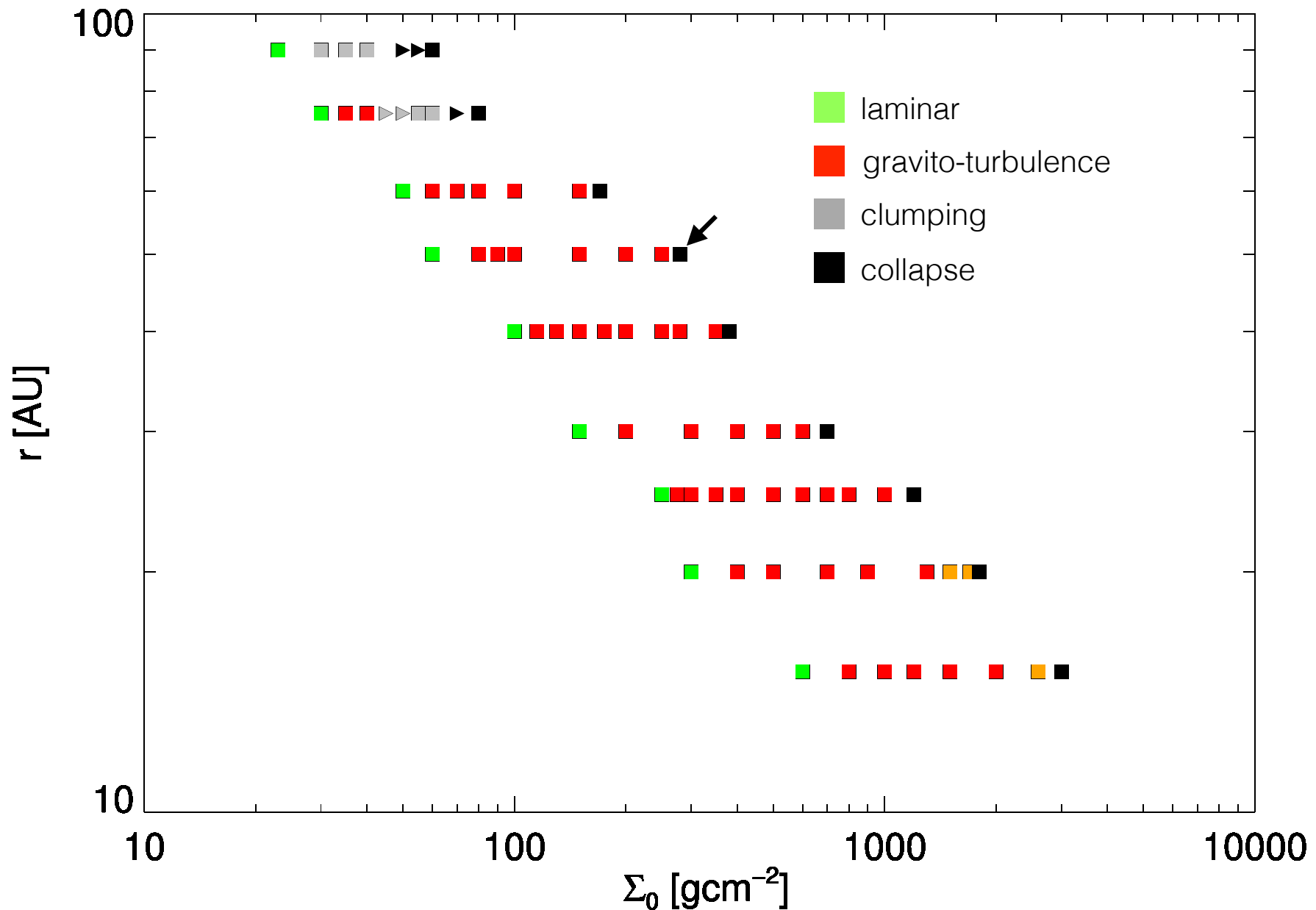
# $r = 50 \text{ AU}$ , $\Sigma = 100 \text{ gcm}^{-2}$ の場合 : gravito-turbulence



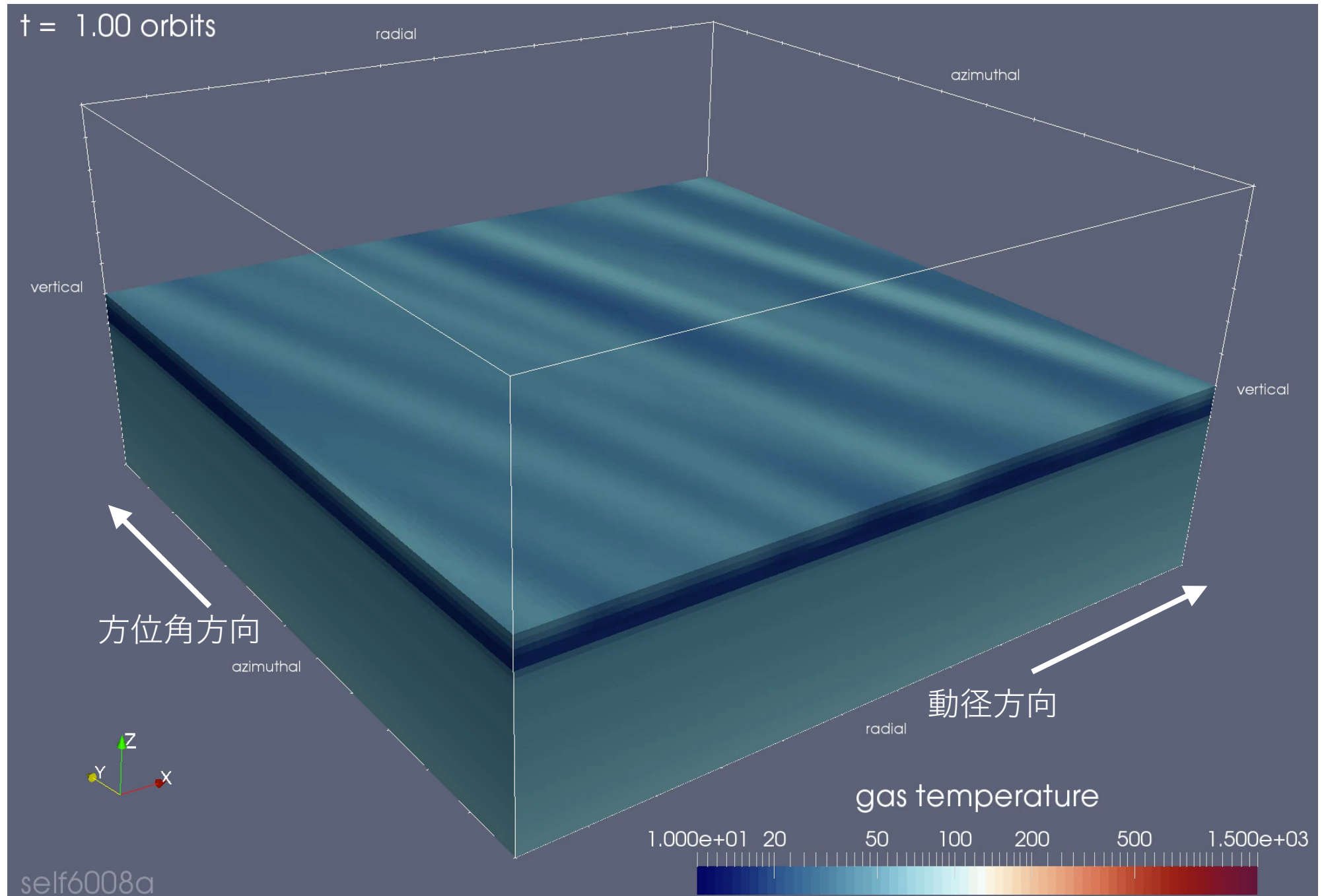
$r = 50 \text{ AU}$ ,  $\Sigma = 100 \text{ gcm}^{-2}$  の場合 : gravito-turbulence



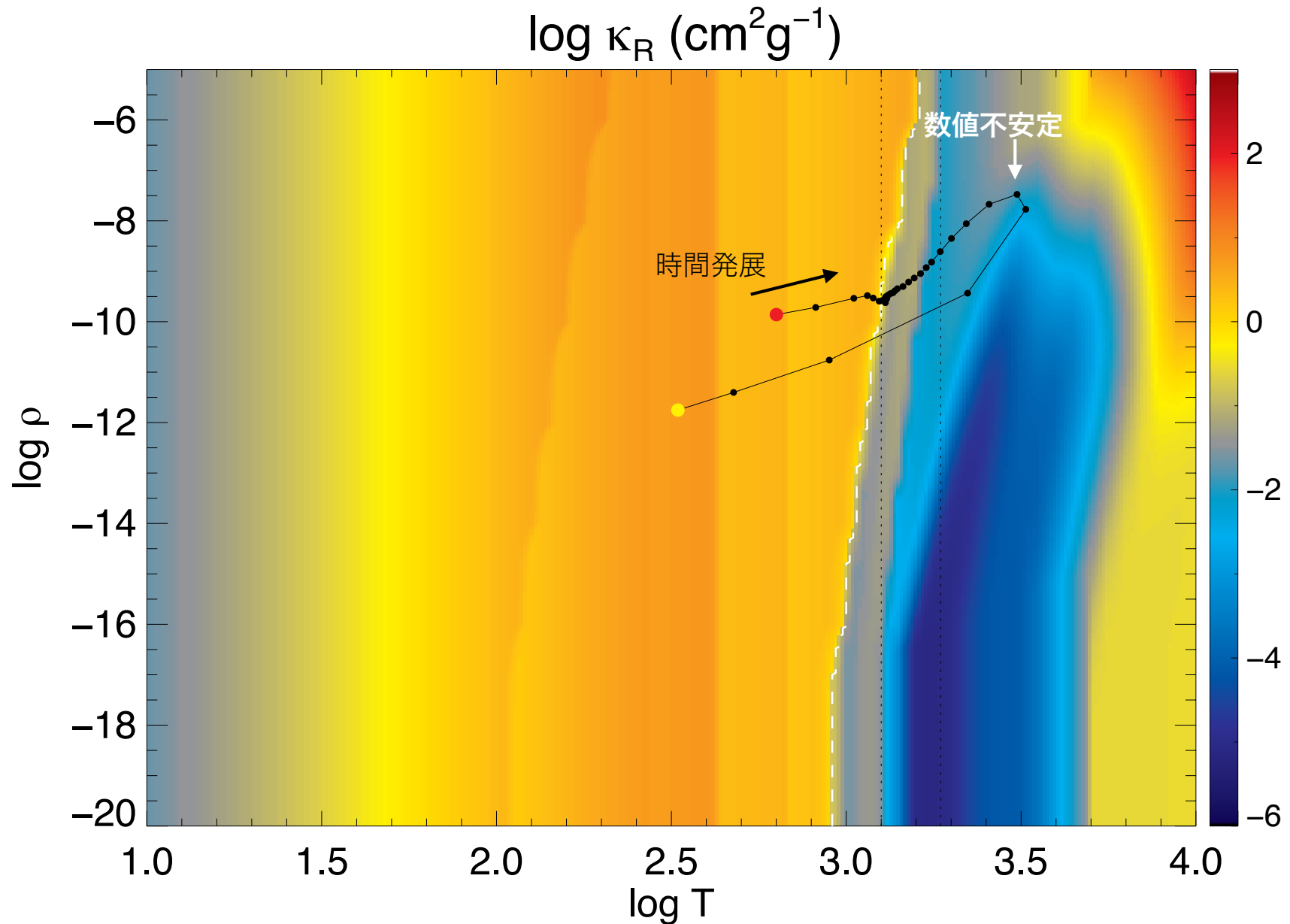
# $r = 50$ AU, $\Sigma = 300$ gcm $^{-3}$ の場合 : runaway collapse



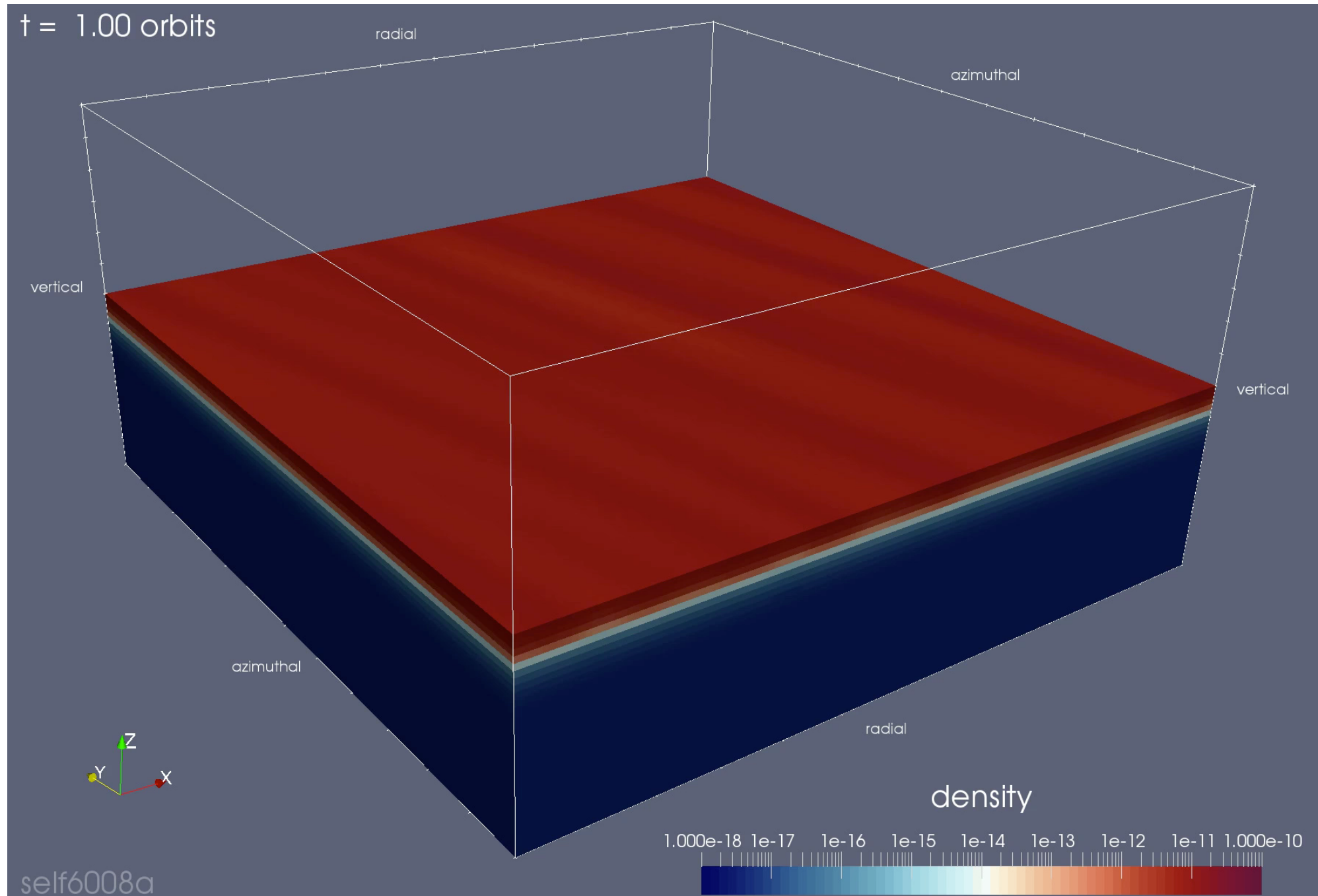
# $r = 50 \text{ AU}$ , $\Sigma = 300 \text{ gcm}^{-3}$ の場合 : runaway collapse



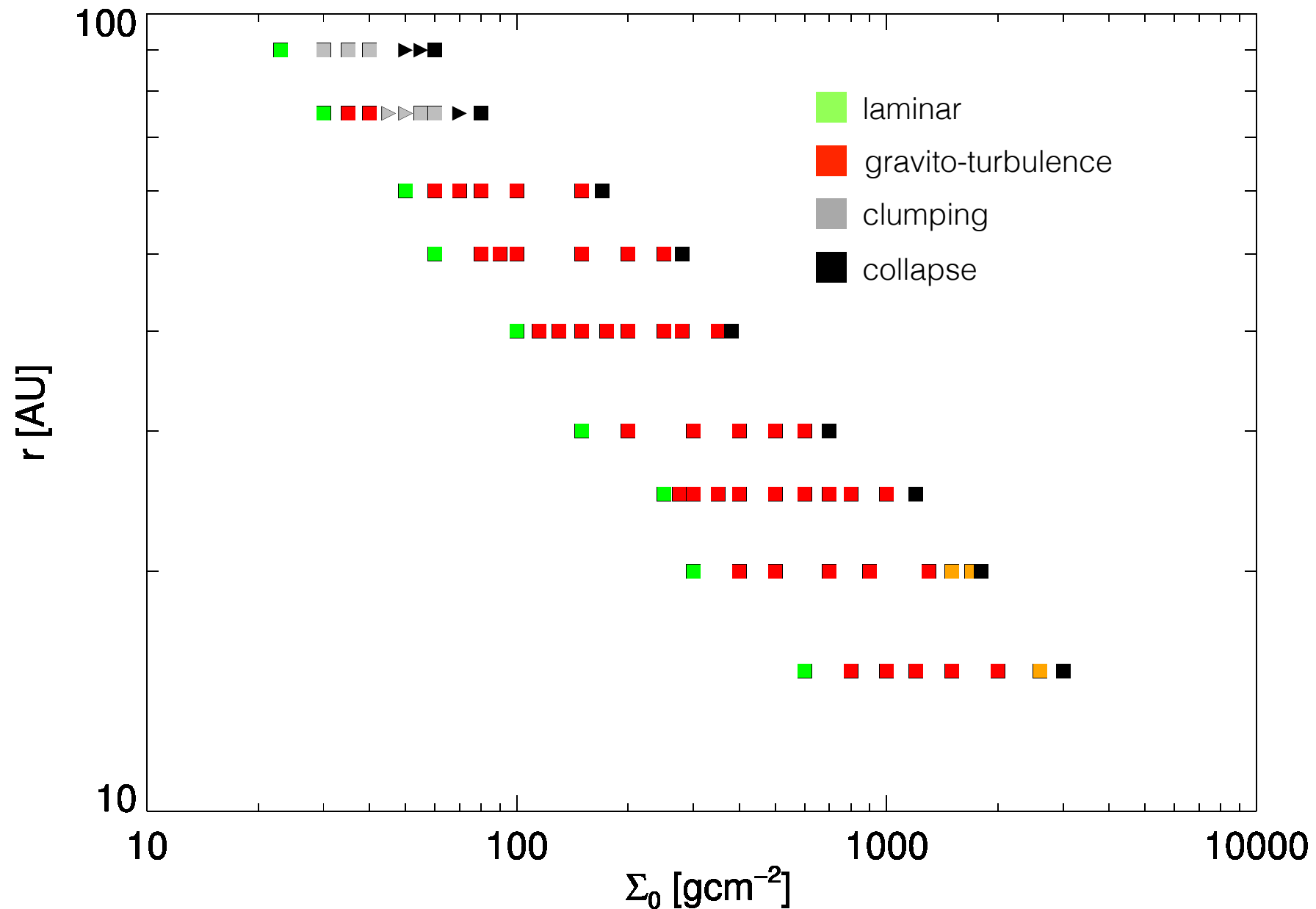
# clump中心の温度・密度の時間変化



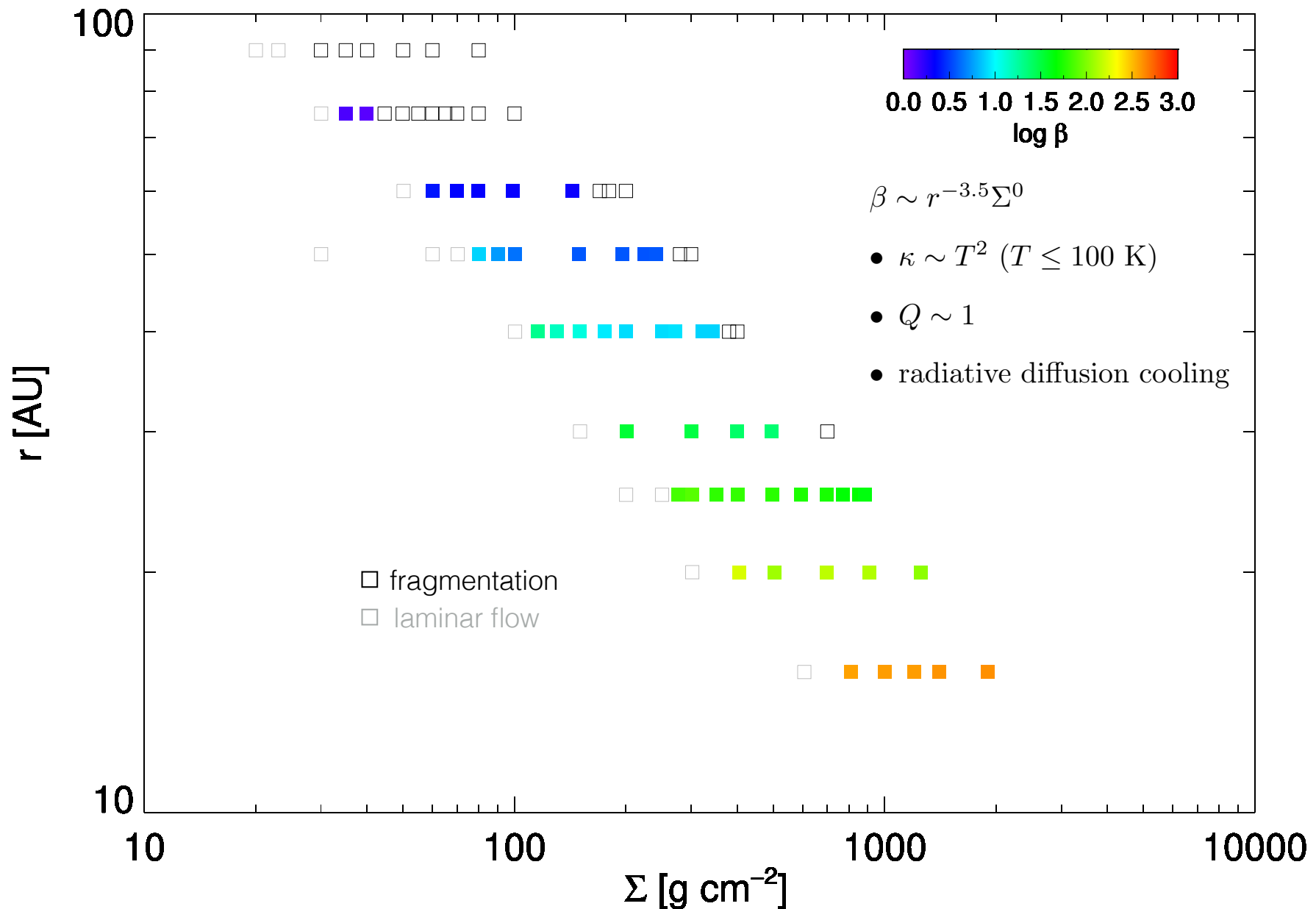
# $r = 50 \text{ AU}$ , $\Sigma = 300 \text{ gcm}^{-3}$ の場合 : runaway collapse



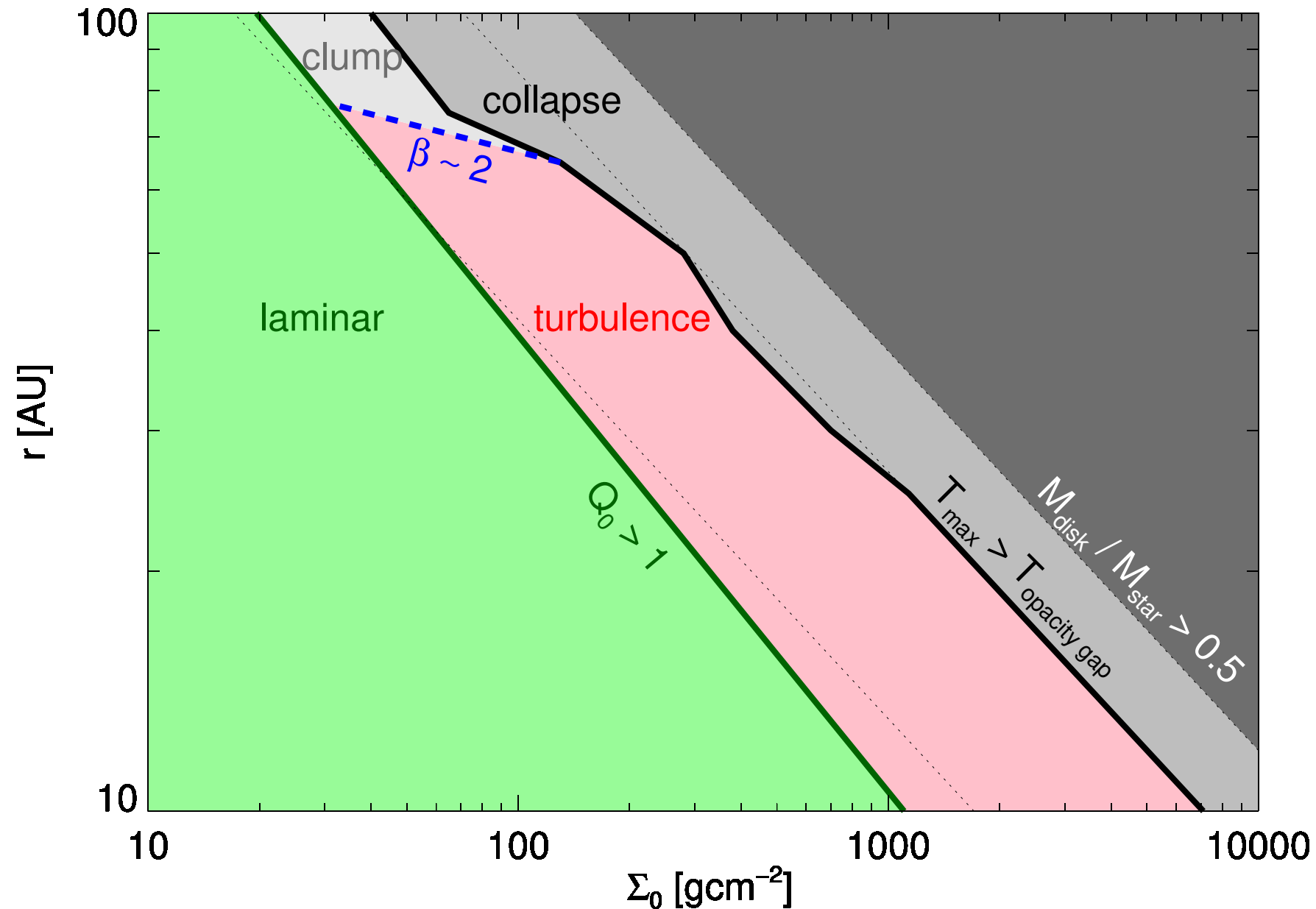
# $r$ が大きい側 ( $r > 75\text{AU}$ ) でclumpingが見られる



# Effective cooling time $\beta$ as a function of $\Sigma$ and $r$



# Nonlinear outcomes of GI in disks: phase diagram



# まとめ

1. 原始惑星系円盤における重力不安定の非線形発展を、現実的な熱力学に基づいた 3 次元局所輻射流体力学計算を用いて調べた
2. 中心星からの距離  $r$  と面密度  $\Sigma$ への依存性は以下のようにまとめられる
  - (a) (irradiation の平衡温度で定義した) Toomre  $Q > 1$  の場合に重力不安定の非線形発展が見られる
  - (b) effective  $\beta \leq 2$  程度となる半径  $r$  が大きい側 ( $r \geq 75\text{AU}$ ) で、clumping が見られる
  - (c) 面密度  $\Sigma$  が十分大きい側では  $T_{\max} > T_{\text{opacity gap}}$  となり、runaway collapse が見られる
  - (d) それ以外では、重力乱流状態が維持される